

## ОПТИКА И СПЕКТРОСКОПИЯ

УДК 532.577.11; 537.635

## ИССЛЕДОВАНИЕ ОСОБЕННОСТЕЙ СОРБЦИИ ИОНОВ КОБАЛЬТА В ВОДНЫХ РАСТВОРАХ СЫВОРОТОЧНОГО АЛЬБУМИНА

**Ю. М. Петруевич, Г. П. Петрова, А. М. Макуренков, А. В. Бойко**

(кафедра медицинской физики; кафедра молекулярной физики)

E-mail: petrus@phys.msu.su

**Методом ЯМР-релаксации изучены процессы сорбции ионов кобальта на поверхности макромолекул альбумина в его водных растворах. Определено число центров сорбции и произведена оценка энергии адсорбции. Методом динамического рассеяния света измерены диффузионные коэффициенты макромолекулярных кластеров альбумина, образующихся в присутствии ионов кобальта.**

### Введение

В настоящее время одной из наиболее актуальных проблем медицинской биофизики является изучение белков как основного составного элемента живой природы и, в частности, их водных растворов. Макромолекулы белков и биополимеров являются уникальными для исследования с помощью методов молекулярной оптики. Поверхность белковой молекулы содержит многочисленные заряженные группы, причем величину заряда можно изменять в широких пределах, путем изменения pH раствора. Кроме того, размеры и масса белковой макромолекулы строго определены для каждого вида белка. Сильное электростатическое взаимодействие между молекулами белка оказывает существенное влияние на характер броуновской динамики молекул. Последние играют чрезвычайно важную роль в функционировании различных биосистем. С точки зрения экологии и медицины представляет интерес изучение влияния ионов металлов на растворы белков.

В человеческом организме различные металлы играют весьма важную роль. Основными из них являются натрий, калий, кальций, магний, содержащиеся в человеческом теле в количестве от десятых долей до нескольких процентов. Такие металлы, как кобальт, молибден, цинк и др., присутствуют в организме в гораздо меньших концентрациях и существуют в связанном состоянии с ферментами, их совокупное содержание составляет менее процента. В больших количествах многие из этих металлов токсичны.

Известно, что белковые макромолекулы (протеины) при определенных условиях, например, в присутствии ионов металлов, образуют надмолекулярные структуры, при этом кроме молекул протеина в растворах появляются их агрегаты — дипольные кластеры [1, 2].

В данной работе была поставлена задача изучить процессы взаимодействия ионов (в частности иона кобальта  $\text{Co}^{2+}$ ) с бычьим сывороточным альбуми-

ном (БСА) в растворе, приводящие к сорбции ионов на поверхности белка, а также к агрегации макромолекул. Для исследования использовались методы ЯМР и динамического светорассеяния.

### 1. Уравнение Скэтчарда и теория сорбции в растворе

По теории сорбции газов Ленгмюра [3] считается, что молекулы газа адсорбируются на поверхности монослоем. Характеристикой этого процесса является параметр сорбции Ленгмюра  $\vartheta = \frac{n_a}{n_f}$ , где  $n_a$  и  $n_f$  — общие количества адсорбированных и свободных молекул соответственно.

Процессы установления равновесия адсорбции в растворе описываются следующим образом:

$$P + A \xrightarrow{k_a} [PA], \quad k_a = \frac{[PA]}{[P][A]}, \quad (1)$$

где  $P$  — концентрация протеина,  $A$  — концентрация иона металла,  $k_a$  — константа адсорбции. Следующие соотношения, написанные Скэтчардом [4], связывают параметр Ленгмюра  $\vartheta$  и параметр Скэтчарда  $r$ :

$$c_m = [PA] + [P], \quad [PA] + k_a n[A][PA] = k_a n[A]c_m, \\ r = n\vartheta = \frac{[PA]}{c_m}. \quad (2)$$

Здесь  $c_m$  — исходная концентрация протеина, а  $n$  — число центров сорбции. Из уравнения (2) следует линейная зависимость между параметром Скэтчарда и параметром сорбции Ленгмюра. При этом  $r$  можно записать в виде

$$r = \frac{k_a[A]n}{1 + k_a[A]}. \quad (3)$$

Видно, что зависимость параметра Скэтчарда  $r$  от концентрации иона  $[A]$  имеет вид изотермы

Ленгмюра. Окончательно уравнение Скэтчарда записывается следующим образом:

$$\frac{r}{[A]} = nk_a - rk_a. \quad (4)$$

При наличии центров сорбции различной природы уравнение Скэтчарда выражается суммой

$$r = \sum_i \frac{n_i k^i [A]}{1 + k^i [A]}. \quad (5)$$

## 2. Метод ЯМР-релаксации и молекулярная сорбция

Метод импульсного ЯМР используется в науке уже более тридцати лет и зарекомендовал себя как удобный, быстрый и точный способ обнаружения содержания протонов в растворах и твердых телах. Он позволяет по времени релаксации сигнала определить не только спектр, но и молекулярную подвижность, а также молекулярную сорбцию.

В настоящей работе методом ЯМР-релаксации определялись параметры сорбции парамагнитного иона  $\text{Co}^{2+}$  на поверхности макромолекулы альбумина. Измеряемая величина скорости спин-решеточной релаксации  $R_1$  может быть представлена в виде следующей суммы:

$$R_1 = (R_1)_0 + p(R_1)_1, \quad (6)$$

где  $(R_1)_0$  — скорость спин-решеточной релаксации водного раствора в отсутствие ионов  $\text{Co}$ , а  $(R_1)_1$  характеризует дополнительную релаксацию при наличии ионов кобальта. При этом  $p$  характеризует коэффициент сорбции парамагнитного иона на поверхности макромолекулы. Таким образом, из двух измерений можно определить величину  $\Delta(R_1)$ , по которой рассчитывается коэффициент сорбции:

$$\Delta(R_1) = (R_1)_1 - (R_1)_0 = p(R_1)_1, \quad (7)$$

$$p = c_m \frac{k_a n}{1 + k_a [A]}. \quad (8)$$

Величина параметра Скэтчарда записывается в виде

$$r = \frac{p}{c_m} = \frac{k_a n}{1 + k_a [A]}. \quad (9)$$

Экспериментальная кривая зависимости скорости продольной ЯМР-релаксации представлена на рис. 1 как функция концентрации ионов  $\text{Co}$  в растворе для двух значений концентрации макромолекул альбумина. На обоих графиках (рис. 1, кривые 2, 3) видна область основной сорбции парамагнитного иона кобальта. Рост скорости релаксации при появлении свободного иона в растворе подтверждается сравнением с графиком для скорости релаксации иона  $\text{Co}$  в отсутствие белка (рис. 1, кривая 1).

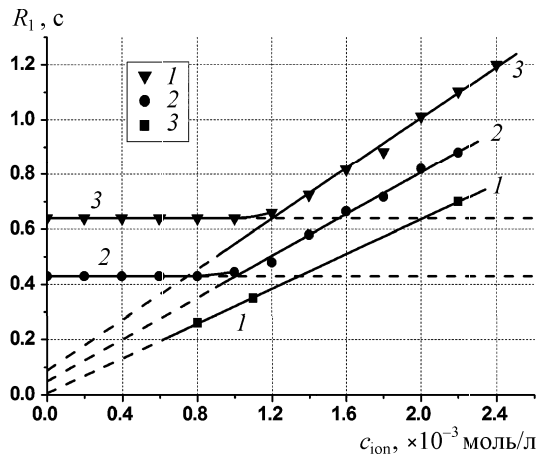


Рис. 1. Зависимости скорости релаксации  $R_1$  парамагнитного иона  $\text{Co}^{2+}$  от его концентрации  $c_{\text{ion}}$  в растворе при pH 7.0 для различных концентраций альбумина  $c_m = 0\%$  (1), 5% (2) и 10% (3)

Последовательность графических расчетов по уравнениям (5)–(9) приводит к окончательному результату в координатах Скэтчарда, представленному на рис. 2. Из этого графика следует, что число центров сильной сорбции иона кобальта на поверхности альбумина составляет величину близкую к единице. Кроме того, обнаруживается область слабой сорбции иона  $\text{Co}^{2+}$  с числом центров сорбции на порядок большей величины. Эти центры имеют различные значения констант связывания и соответственно различную энергию сорбции.

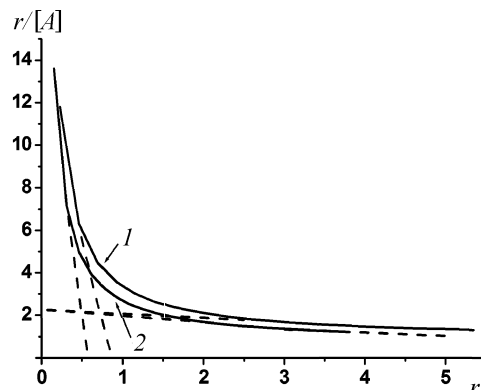


Рис. 2. График сорбции ионов кобальта на альбумине в координатах Скэтчарда. Концентрация макромолекул альбумина  $c_m = 5\%$  (1) и 10% (2)

## 3. Метод динамического рассеяния света

Методом динамического рассеяния света определялись размеры макромолекулярных кластеров, образующихся при сорбции ионов металла и исследовалась зависимость размера кластеров от поверхностного заряда альбумина.

Динамическое рассеяние света, также как и статическое рассеяние, связано с флуктуациями концентрации рассеивающих частиц [5]. Для растворов макромолекул в этом случае возможно написать корреляционную функцию  $c(t)$ , описывающую мо-

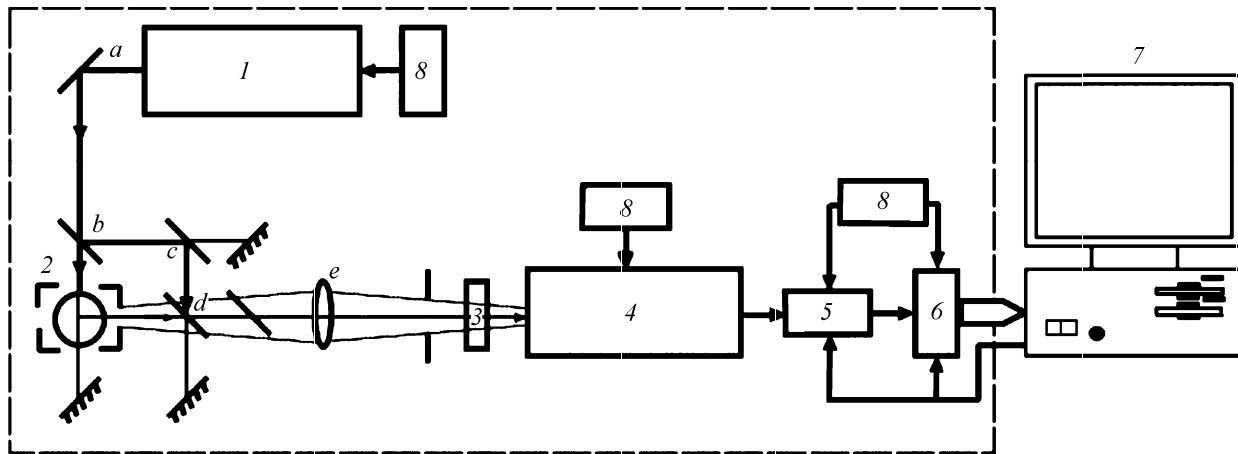


Рис. 3. Схема установки для исследования динамического светорассеяния: 1 — лазер; 2 — кювета с раствором; 3 — фильтр; 4 — фотоумножитель; 5 — усилитель; 6 — коррелятор с PCI-интерфейсом; 7 — IBM PC; 8 — блоки питания

лекулярное броуновское движение:

$$c(t) = a \langle E^*(0)E(t) \rangle. \quad (10)$$

Соответствующий метод определения  $c(t)$  называется методом корреляции фотонов. Схема установки для исследования динамического рассеяния света приведена на рис. 3. Луч лазера (1) попадает через зеркало (а) на зеркало (б) с малым коэффициентом отражения, за счет чего образуются два луча. Часть прошедшего сквозь зеркало излучения рассеивается в кювете с раствором (2) под углом  $90^\circ$  и линзой (е) фокусируется на катоде ФЭУ (4). Отраженный опорный луч через зеркала (в) и (д) также попадает на катод ФЭУ, где смешивается с рассеянным лучом и регистрируется гетеродинным методом. Автокорреляционная функция интенсивности, получаемая с помощью коррелятора, затем обрабатывается компьютером (7).

Корреляционная функция в случае раствора макромолекул, совершающих трансляционное броуновское движение с диффузионным коэффициентом  $D$  и волновым вектором  $q = 2\pi/\lambda$  выглядит следующим образом:

$$c(t) = c_0 \exp[-t/\tau]. \quad (11)$$

В случае частиц различных по массе имеем сумму таких экспонент:

$$c(t) = \sum c_{0i} \exp[-t/\tau_i], \quad (12)$$

где  $\tau_i = 1/D_i q^2$ . При этом

$$D = kT/6\pi\eta R_i, \quad \tau_i = \frac{6\pi\eta R_i}{kTq^2}, \quad (13)$$

где  $R_i$  — радиус  $i$ -й частицы, а  $\eta$  — вязкость раствора. Программа обработки данных позволяет рассчитать величины гидродинамических радиусов рассеивающих частиц. Из последней формулы (13) следует линейная связь между измеренным временем релаксации  $\tau_i$  и радиусом частицы  $R_i$ . Из рис. 4 видно, что логарифм корреляционной функции можно аппроксимировать двумя прямыми, что свидетельствует о наличии двух типов частиц с различны-

ми радиусами. Вероятнее всего это макромолекулы альбумина и образованные из них кластеры.

Результаты эксперимента, полученные методом динамического светорассеяния в растворе альбумин +  $\text{CoCl}_2 + \text{H}_2\text{O} + \text{HCl}$  ( $M = 0.015$ ), проведенного при различных pH, представлены на рис. 5, а, где показано изменение величины относительного размера дипольных кластеров  $R_c/R_m$ ,

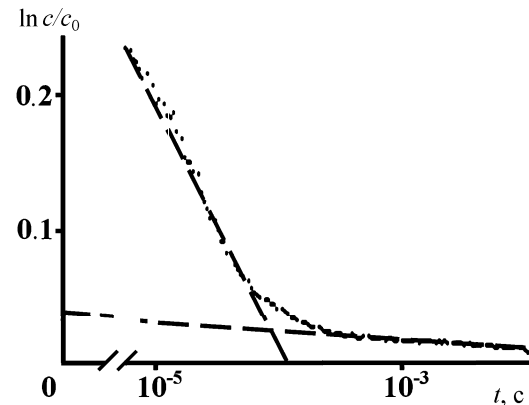


Рис. 4. Зависимость логарифма отношения конечной  $c$  и начальной  $c_0$  корреляционной функций от времени  $t$

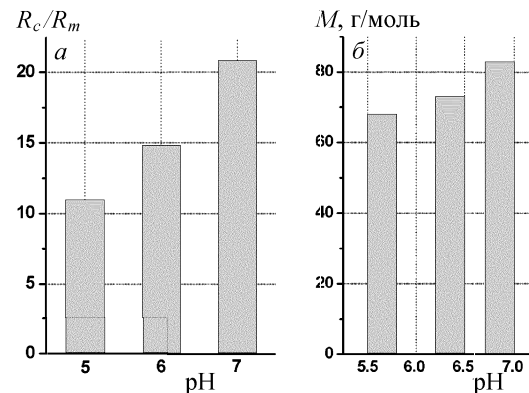


Рис. 5. Отношение эффективных радиусов кластеров  $R_c$  к радиусам исходных макромолекул альбумина  $R_m$  в зависимости от pH раствора альбумин +  $\text{CoCl}_2 + \text{H}_2\text{O} + \text{HCl}$  ( $\mu = 0.015$ ) (а) и зависимость эффективной молярной массы рассеивающих частиц  $M$  от pH раствора альбумин +  $\text{CoCl}_2 + \text{H}_2\text{O} + \text{NaOH}$  ( $\mu = 0.03$ ) (б)

$R_m$  — эффективный радиус молекулы белка при изменении поверхностного заряда макромолекулы (т. е. pH раствора). Характерный минимум размеров кластеров находится вблизи изоэлектрической точки альбумина ( $\text{pH} \approx 5$ ).

При изменении концентрации ионов водорода в растворе, содержащем ионы кобальта, наблюдалась обратимость процесса кластеризации, когда относительный размер кластеров вначале уменьшался в интервале pH 4–5, а затем увеличивался при pH от 5 до 6. Подобная зависимость наблюдалась и при другой концентрации иона кобальта. Полученные данные хорошо согласуются с результатами исследования влияния ионов кобальта на параметр статического рассеяния света в растворах альбумина. На рис. 5, б приведена зависимость эффективной массы рассеивающих частиц (кластеров) от pH раствора, полученная методом статистического светорассеяния.

### Заключение

1. Методом ЯМР-релаксации получены параметры сорбции ионов кобальта на поверхности макромолекулы альбумина. Обнаружено, что имеются центры сильной и слабой сорбции, и рассчитано их число.

2. Методом динамического светорассеяния определены относительные размеры макромолекулярных дипольных кластеров. Изучены изменения этой величины как функции поверхностного заряда макромолекул (величины pH в диапазоне 4–7 ед.).

3. Сравнение результатов двух оптических методов — интегрального и динамического светорассеяния — показывает, что в случае ионов кобальта наблюдается рост эффективного радиуса и массы рассеивающих молекул в области  $\text{pH} > 5$ .

### Литература

1. Petrova G.P., Petrusevich Yu.M., Evseevicheva A.N. // Gen. Physiol. and Biophys. 1998. **17**, N 2. P. 97.
2. Петрова Г.П., Петрусеевич Ю.М., Евсеевичева А.Н. // Вестн. Моск. ун-та. Физ. Астрон. 1998. № 4. С. 71 (Moscow University Phys. Bull. 1998. N 4. P. 91).
3. Мэлвин-Хьюз Э.И. Физическая химия. М., 1964.
4. Маршалл Э. Биофизическая химия. М., 1981.
5. Спектроскопия оптического смешения и корреляция фотонов / Ред. Г. Камминс, Э. Пайк. М., 1978.

Поступила в редакцию  
15.07.04